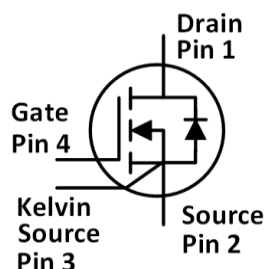
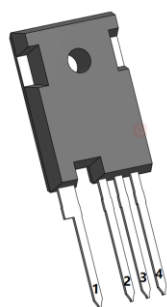


## 1200V 17mΩ SiC MOSFET

### 特点

- 推荐使用 18V 栅压驱动
- 高压、低导通电阻
- 高速、寄生电容小
- 高工作结温
- 快速恢复体二极管
- 开尔文连接驱动

### 封装示意图:



### 应用

- EV 主驱逆变器
- 光伏逆变器
- 电机驱动
- 高压 DC/DC 变换器
- 开关电源

TO247-4

### 最大额定值 (T<sub>c</sub>=25°C, 特殊说明除外)

符号	参数说明	典型值	单位	测试条件	备注
V <sub>DS</sub>	漏源电压	1200	V	V <sub>GS</sub> =0V, I <sub>D</sub> =100μA	
V <sub>GSmax</sub> (DC)	最大直流栅源电压	-5 to 20	V	静态 (DC)	
V <sub>GSmax</sub> (Spike)	最大尖峰栅源电压	-10 to 23	V	占空比<1%, 脉冲宽度<200ns	
V <sub>GSon</sub>	推荐的开通栅源电压	18±0.5	V		
V <sub>GSoff</sub>	推荐的关断栅源电压	-3.5 to -2	V		
I <sub>D</sub>	最大漏源电流	118	A	V <sub>GS</sub> =18V, T <sub>C</sub> =25°C	图 23
		87	A	V <sub>GS</sub> =18V, T <sub>C</sub> =100°C	
I <sub>DM</sub>	最大脉冲漏源电流	295	A	根据器件安全工作区确定	图 26
P <sub>TOT</sub>	最大耗散功率	469	W	T <sub>C</sub> =25°C	图 24
T <sub>stg</sub>	存储温度范围	-55 to 175	°C		
T <sub>J</sub>	工作结温范围	-55 to 175	°C		
T <sub>L</sub>	焊接温度	260	°C	引线处波峰焊接, 距外壳 1.6 毫米, 持续不超过 10 秒	

### 热阻特性

符号	参数说明	典型值	单位	备注
R <sub>θ(j-c)</sub>	结到外壳的热阻	0.271	°C/W	图 25

## 电学特性 (T<sub>c</sub>=25°C, 特殊说明除外)

符号	参数说明	规范值			单位	测试条件	备注
		最小	典型	最大			
I <sub>DSS</sub>	关断时的漏极漏电流		5	100	μA	V <sub>DS</sub> =1200V, V <sub>GS</sub> =0V	
I <sub>GSS</sub>	栅极漏电流			±100	nA	V <sub>DS</sub> =0V, V <sub>GS</sub> =-5~20V	
V <sub>TH</sub>	阈值电压	1.8	2.8	4.5	V	V <sub>GS</sub> =V <sub>DS</sub> , I <sub>D</sub> =20mA	图 8, 9
			2.1			V <sub>GS</sub> =V <sub>DS</sub> , I <sub>D</sub> =20mA @ T <sub>J</sub> =175°C	
R <sub>ON</sub>	导通电阻		17	22	mΩ	V <sub>GS</sub> =18V, I <sub>D</sub> =60A @ T <sub>J</sub> =25°C	图 4, 5, 6, 7
			34		mΩ	V <sub>GS</sub> =18V, I <sub>D</sub> =60A @ T <sub>J</sub> =175°C	
C <sub>iss</sub>	输入电容		4410		pF	V <sub>DS</sub> =800V, V <sub>GS</sub> =0V, f=100kHz, V <sub>AC</sub> =25mV	图 16
C <sub>oss</sub>	输出电容		211		pF		
C <sub>rss</sub>	反向传输电容		16.3		pF		
E <sub>oss</sub>	输出电容存储能量		81		μJ		图 17
Q <sub>g</sub>	栅极总电荷		214		nC	V <sub>DS</sub> =800V, I <sub>D</sub> =60A, V <sub>GS</sub> =-3 to 18V	图 18
Q <sub>gs</sub>	栅源电荷		55		nC		
Q <sub>gd</sub>	栅漏电荷		69		nC		
R <sub>g</sub>	栅极输入电阻		1.9		Ω	f=1MHz	
E <sub>ON</sub>	开通能量		1280		μJ	V <sub>DS</sub> =800V, I <sub>D</sub> =60A, V <sub>GS</sub> =-3.5 to 18V, R <sub>G(ext)</sub> =2.0Ω, L=200μH T <sub>J</sub> =25°C	图 19, 20
E <sub>OFF</sub>	关断能量		333.5		μJ		
t <sub>d(on)</sub>	导通延迟时间		17.1		ns		
t <sub>r</sub>	上升时间		33.2				
t <sub>d(off)</sub>	关断延迟时间		35.5				
t <sub>f</sub>	下降时间		15.1				
E <sub>ON</sub>	开通能量		1544		μJ	V <sub>DS</sub> =800V, I <sub>D</sub> =60A, V <sub>GS</sub> =-3.5 to 18V, R <sub>G(ext)</sub> =2.0Ω, L=200μH T <sub>J</sub> =175°C	图 22
E <sub>OFF</sub>	关断能量		357.4		μJ		

## 体二极管特性 (T<sub>c</sub>=25°C, 特殊说明除外)

符号	参数说明	规范值			单位	测试条件	备注
		最小	典型	最大			
V <sub>SD</sub>	正向电压		3.6		V	I <sub>SD</sub> =30A, V <sub>GS</sub> =0V	图 10, 11, 12
			3.4		V	I <sub>SD</sub> =30A, V <sub>GS</sub> =0V, T <sub>J</sub> =175°C	
t <sub>rr</sub>	反向恢复时间		54		ns	V <sub>GS</sub> =-3.5V/+18V, I <sub>SD</sub> =60A, V <sub>R</sub> =800V, R <sub>G(ext)</sub> =10Ω L=200μH	
Q <sub>rr</sub>	反向恢复电荷		383.8		nC	di/dt=3000A/μs	
I <sub>RRM</sub>	反向恢复峰值电流		25.3		A		

## 典型特征曲线

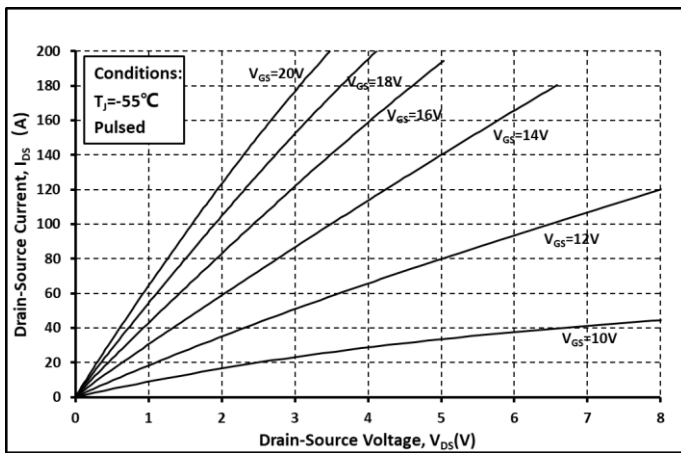


图. 1 输出曲线 @  $T_j = -55^\circ\text{C}$

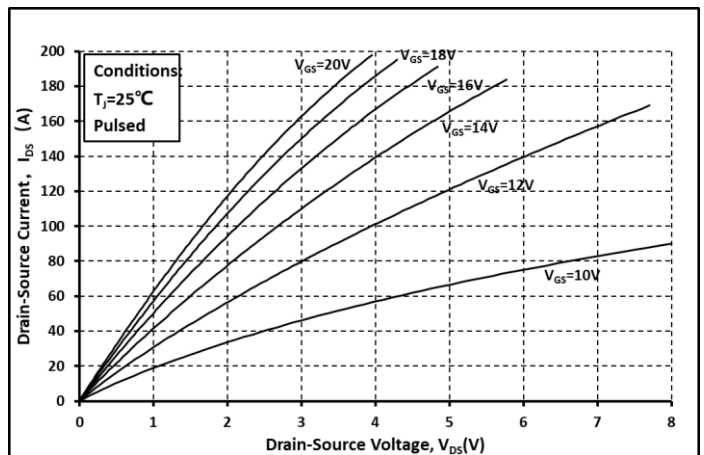


图. 2 输出曲线 @  $T_j = 25^\circ\text{C}$

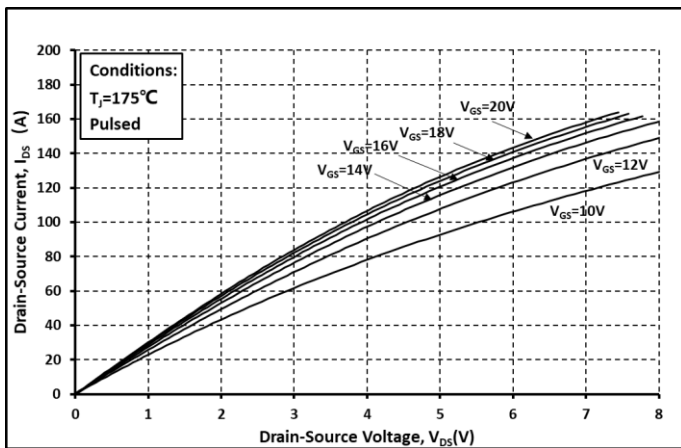


图. 3 输出曲线 @  $T_j = 175^\circ\text{C}$

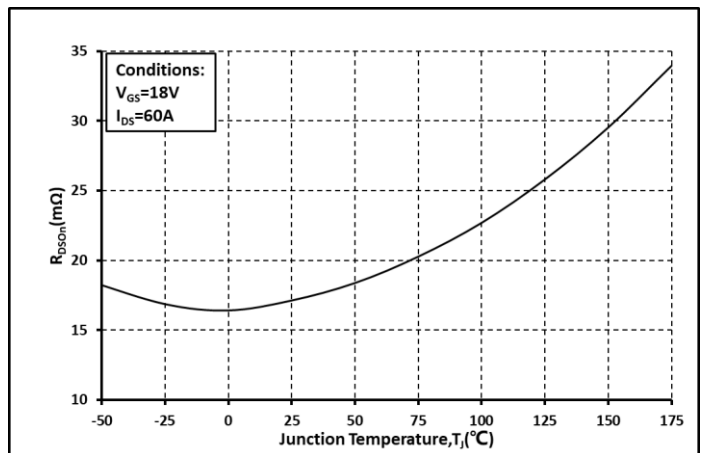


图. 4  $R_{on}$  和温度关系曲线

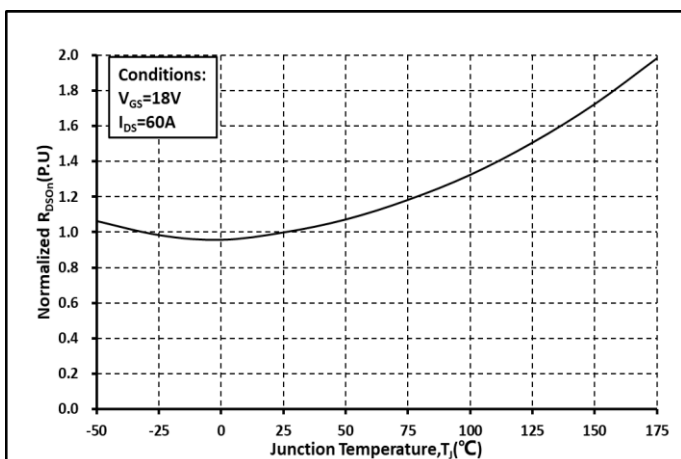


图. 5 归一化的  $R_{on}$  和温度关系曲线

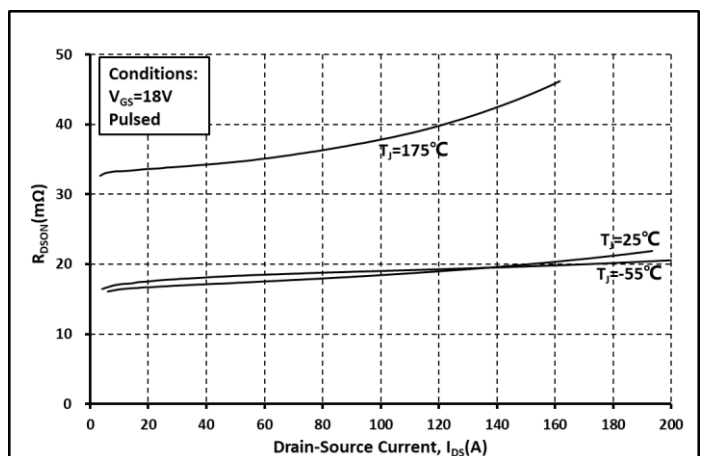


图. 6 各温度下的  $R_{on}$  和  $I_{DS}$  关系曲线

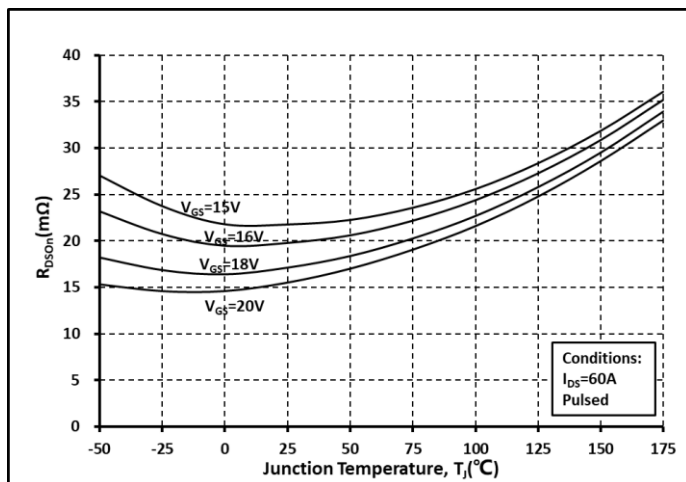


图. 7 各  $V_{GS}$  下的  $R_{on}$  和温度关系曲线

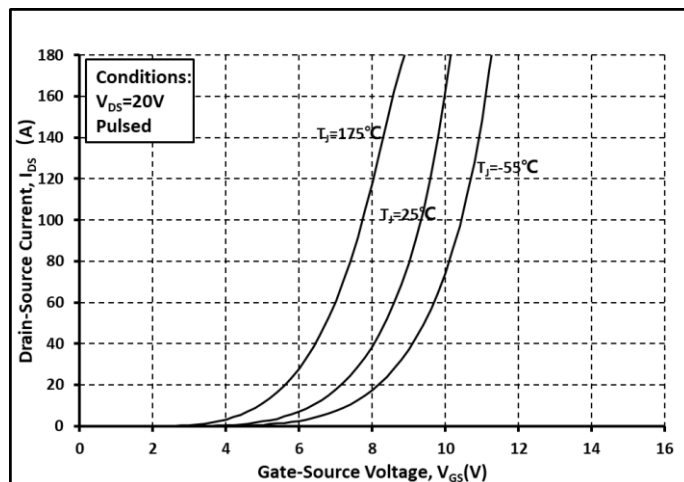


图. 8 各温度下的传输特性曲线

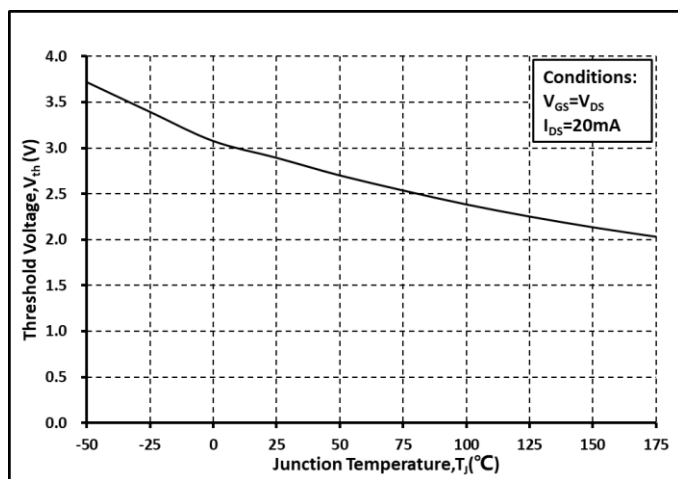


图. 9 阈值电压随温度变化曲线

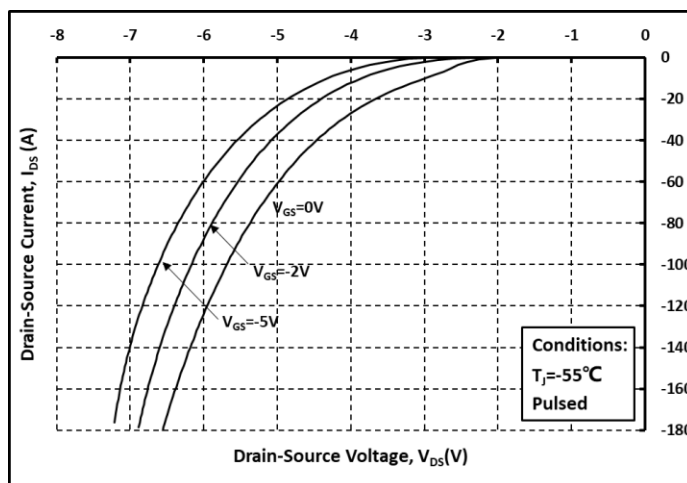


图. 10 体二极管导通曲线 @  $T_j = -55^{\circ}C$

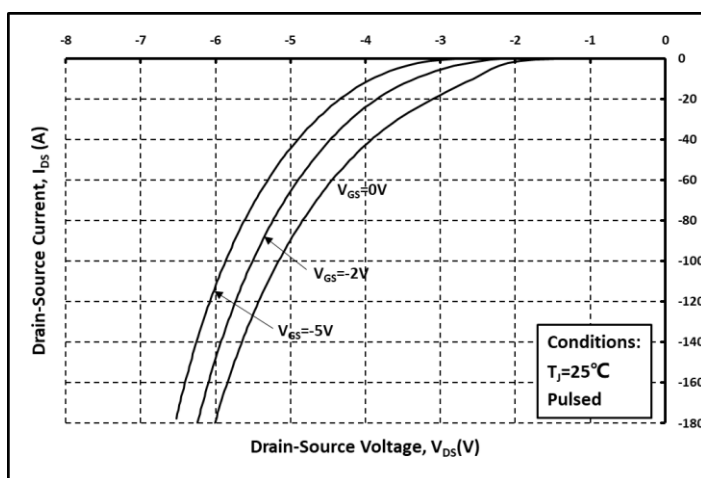


图. 11 体二极管导通曲线 @  $T_j = 25^{\circ}C$

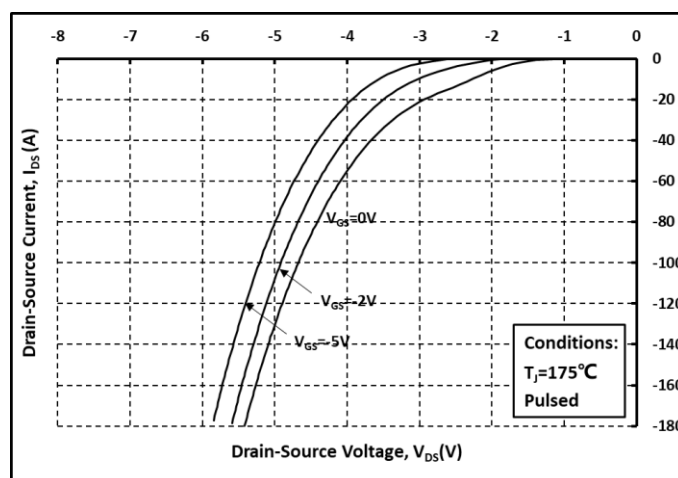


图. 12 体二极管导通曲线 @  $T_j = 175^{\circ}C$

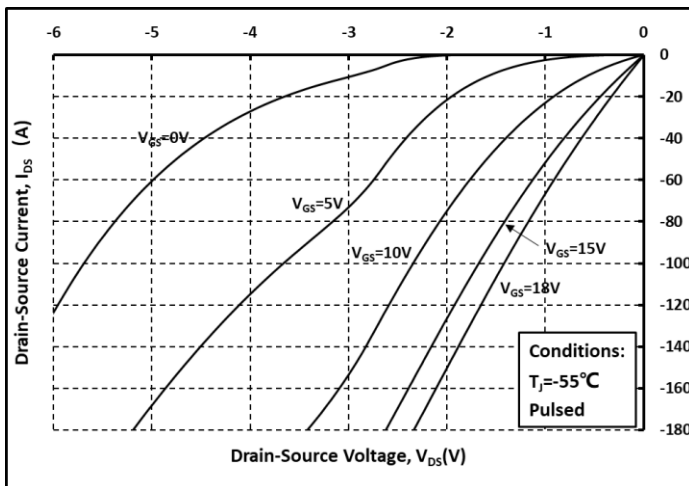


图. 13 第三象限曲线 @  $T_j = -55^\circ\text{C}$

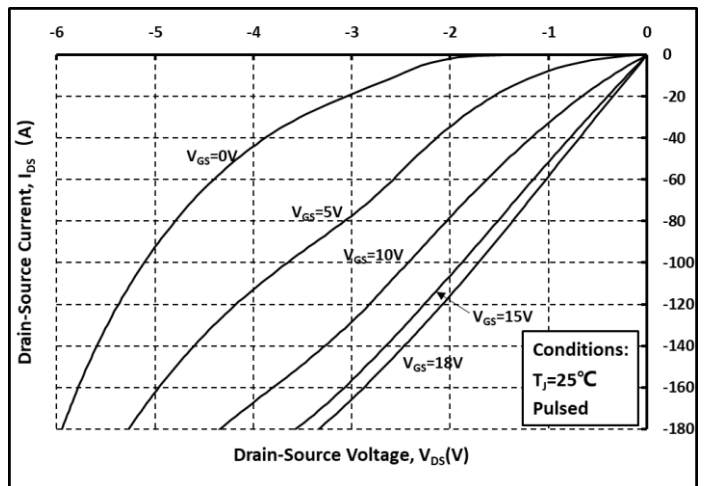


图. 14 第三象限曲线 @  $T_j = 25^\circ\text{C}$

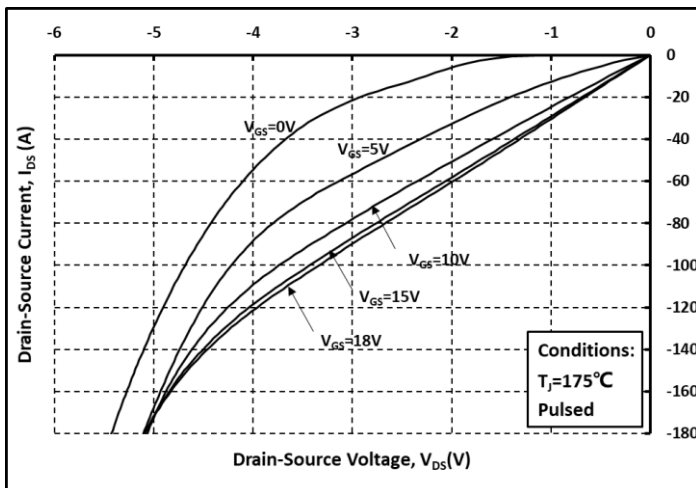


图. 15 第三象限曲线 @  $T_j = 175^\circ\text{C}$

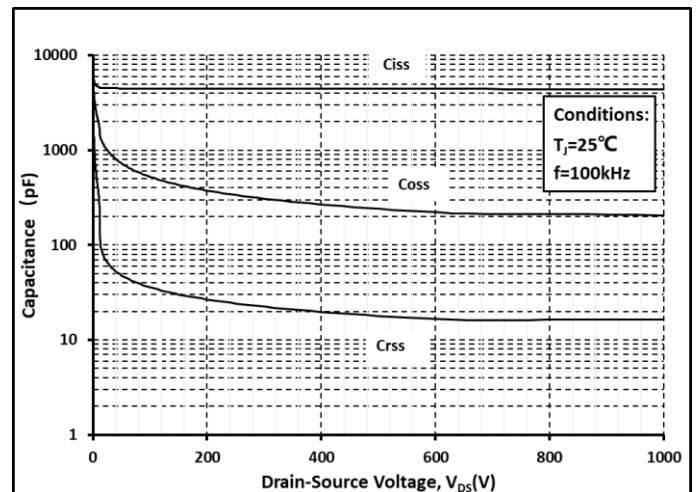


图. 16 各电容和  $V_{DS}$  关系曲线

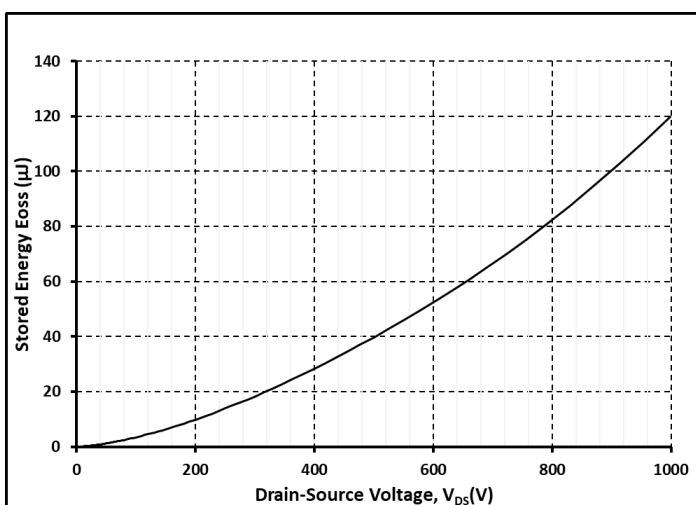


图. 17 输出电容存储能量曲线

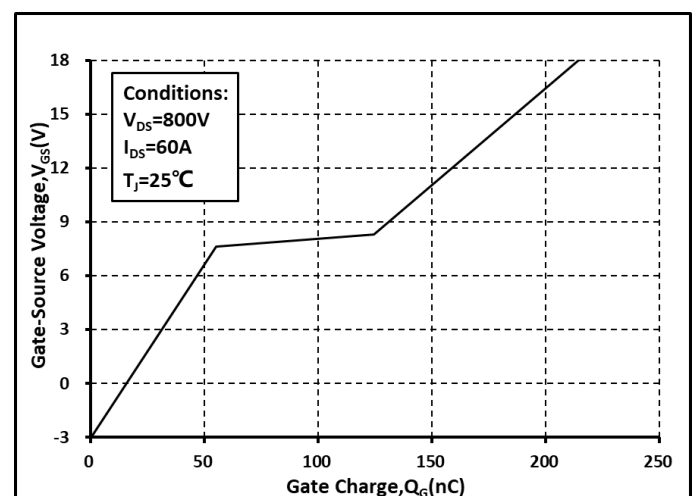


图. 18 栅电荷特征曲线

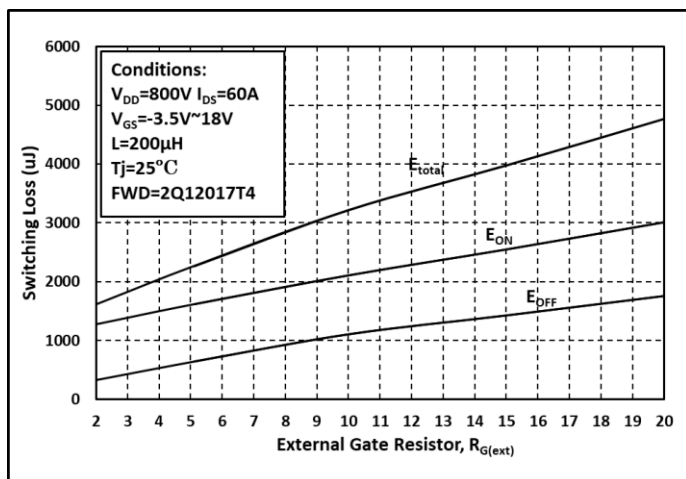


图. 19 开关能量和栅极电阻  $R_{G(ext)}$  关系曲线

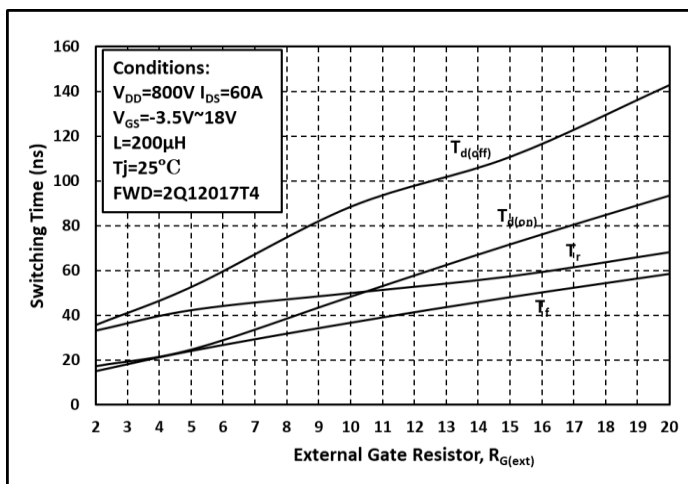


图. 20 开关时间和栅极电阻  $R_{G(ext)}$  关系曲线

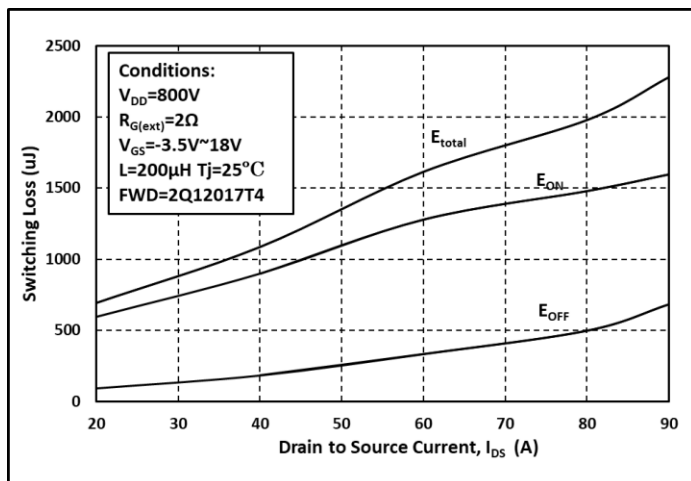


图. 21 开关能量和漏端电流  $I_{DS}$  关系曲线

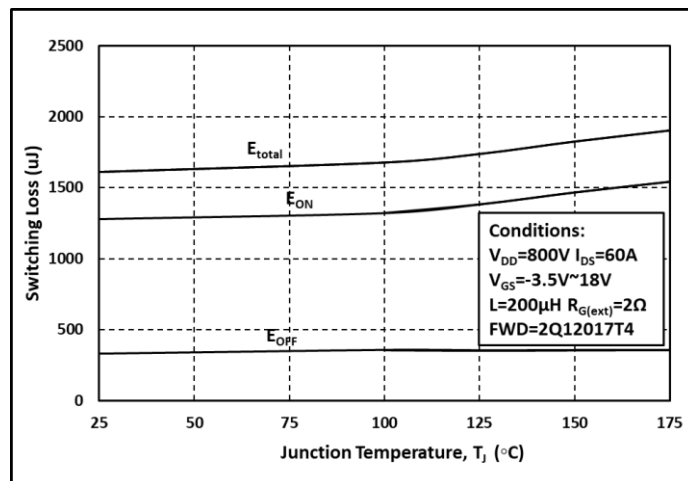


图. 22 开关能量和温度关系曲线

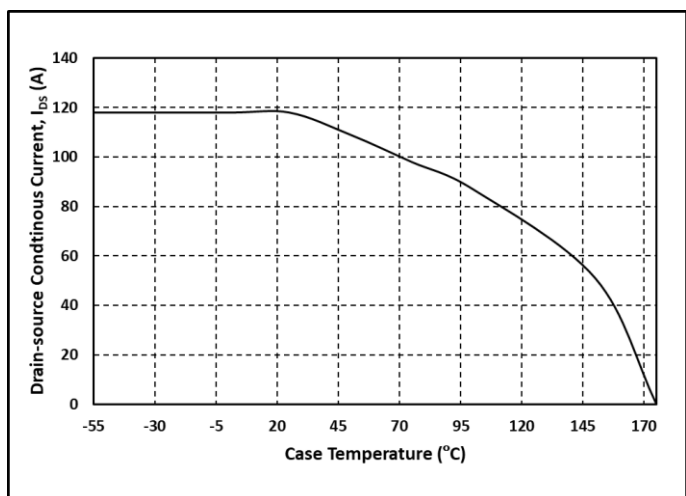


图. 23 漏端电流和温度关系曲线

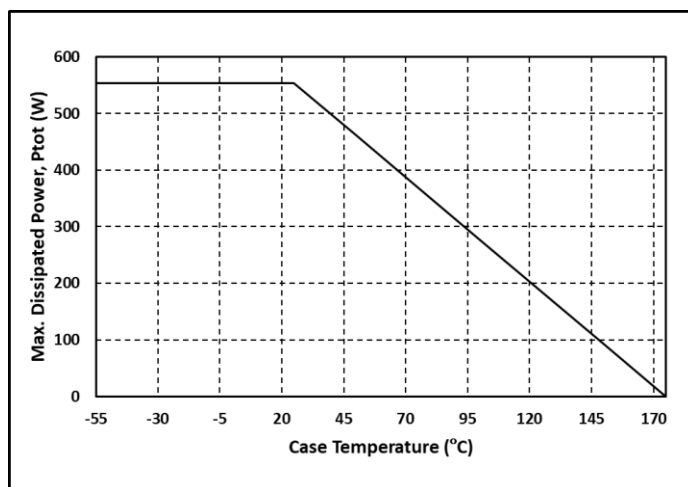


图. 24 最大功耗降额和温度关系曲线

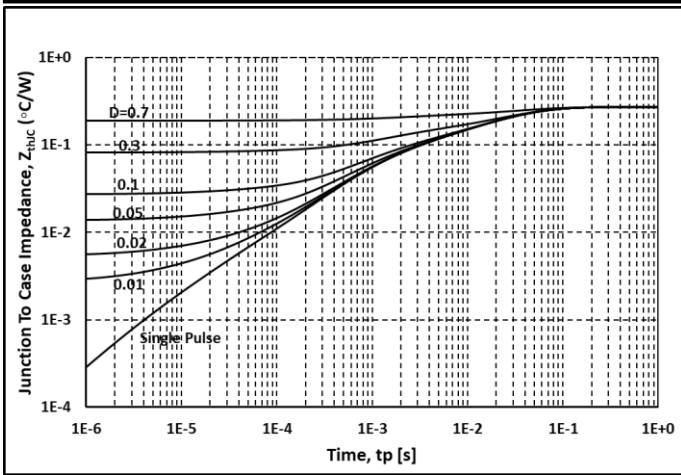


图. 25 热阻曲线

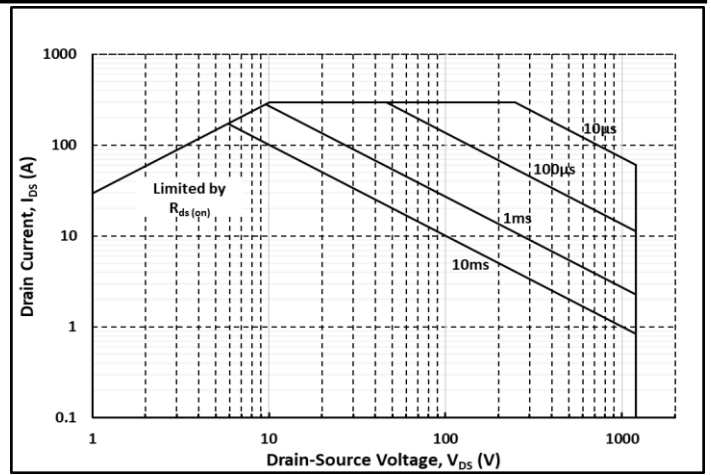
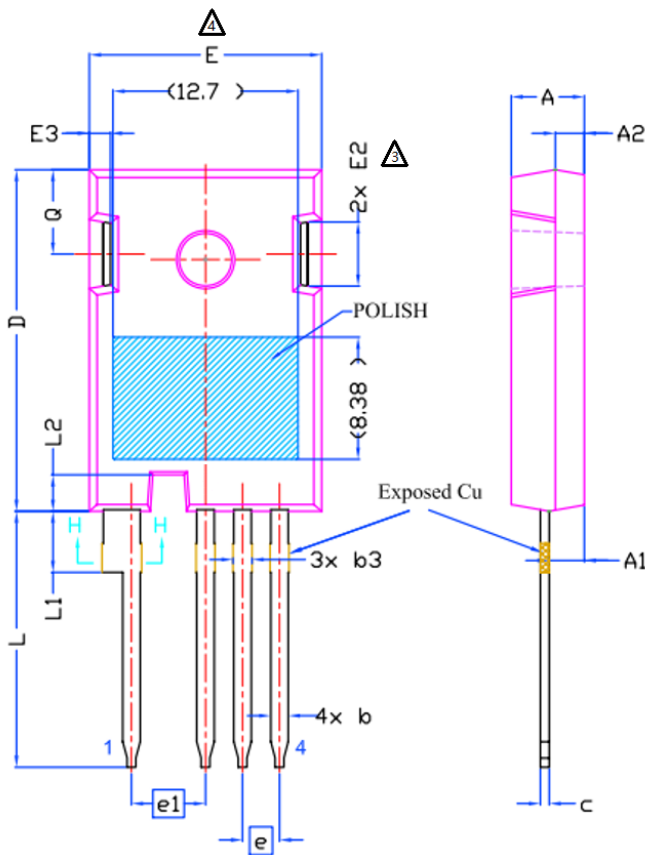
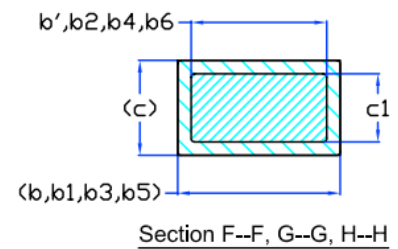
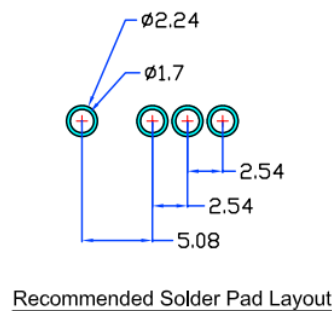
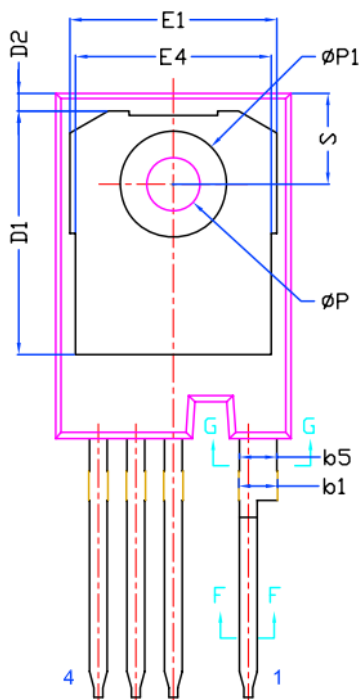


图. 26 安全工作区示意图

## 封装尺寸



Dimensions In Millimeters		
SYMBOL	MIN.	MAX.
A	4.83	5.21
A1	2.29	2.54
A2	1.91	2.16
b	1.07	1.33
b'	1.07	1.28
b1	2.39	2.94
b2	2.39	2.84
b3	1.07	1.60
b4	1.07	1.50
b5	2.39	2.69
b6	2.39	2.64
c	0.55	0.68
c1	0.55	0.65
D	23.30	23.60
D1	16.25	17.65
D2	0.95	1.25
E	15.75	16.13
E1	13.10	14.15
E2	3.68	5.10
E3	1.00	1.90
E4	12.38	13.43
e	2.54 BSC	
e1	5.08 BSC	
L	17.31	17.82
L1	3.97	4.37
L2	2.35	2.65
N	4	
φP	3.51	3.65
φP1	7.18 REF.	
Q	5.49	6
S	6.04	6.3



### 说明:

1. 封装标准参考: JEDEC TO247, Variation AD
2. 以上单位为: 毫米
3. 需要开槽, 槽口可为圆形
4. 尺寸 D 和 E 不包括模具溢料
5. 如有变更, 不另行通知



## X-ON Electronics

Largest Supplier of Electrical and Electronic Components

*Click to view similar products for [MOSFET](#) category:*

*Click to view products by [SLKORMICRO](#) manufacturer:*

Other Similar products are found below :

[IRFD120](#) [JANTX2N5237](#) [BUK455-60A/B](#) [MIC4420CM-TR](#) [VN1206L](#) [NDP4060](#) [SI4482DY](#) [IPS70R2K0CEAKMA1](#) [SQD23N06-31L-GE3](#)  
[TK16J60W,S1VQ\(O](#) [2SK2614\(TE16L1,Q\)](#) [DMN1017UCP3-7](#) [DMN1053UCP4-7](#) [SQJ469EP-T1-GE3](#) [NTE2384](#) [DMC2700UDMQ-7](#)  
[DMN2080UCB4-7](#) [DMN61D9UWQ-13](#) [US6M2GTR](#) [DMN31D5UDJ-7](#) [DMP22D4UFO-7B](#) [DMN1006UCA6-7](#) [DMN16M9UCA6-7](#)  
[STF5N65M6](#) [IRF40H233XTMA1](#) [STU5N65M6](#) [DMN6022SSD-13](#) [DMN13M9UCA6-7](#) [DMTH10H4M6SPS-13](#) [DMN2990UFB-7B](#)  
[IPB80P04P405ATMA2](#) [2N7002W-G](#) [MCAC30N06Y-TP](#) [MCQ7328-TP](#) [BXP7N65D](#) [BXP4N65F](#) [AOL1454G](#) [WMJ80N60C4](#) [BXP2N20L](#)  
[BXP2N65D](#) [BXT1150N10J](#) [BXT1700P06M](#) [TSM60NB380CP](#) [ROG](#) [RQ7L055BGTCR](#) [DMNH15H110SK3-13](#) [SLF10N65ABV2](#)  
[BSO203SP](#) [BSO211P](#) [IPA60R230P6](#) [IPA60R460CE](#)